

Representaciones Circulares de Grafos Simples Conexos y el Rango Mínimo Semidefinido de un Delta Grafo

Pedro Díaz Navarro*

Junio de 2018

Resumen

En este artículo se presenta la técnica para representar grafos simples y conexos por medio de encustamientos circulares y se muestra su aplicación en el cálculo de representaciones ortogonales de grafos simples conexos esenciales en el estudio de conjeturas de la teoría del análisis matricial y la teoría de grafos.

Palabras clave: conjetura delta, grafo simple conexo, rango mínimo semidefinido, δ -grafo, C- δ grafo, representación ortogonal.

Clasificación Matemática: 05C50,05C76 ,05C85 ,68R05 ,65F99,97K30.

1. Introducción

En la teoría de grafos se diferentes técnicas de tipo combinatorio para probar resultados. Algunas de ellas se basan en el coloramiento de los vértices y el cálculo de parámetros determinados por el mínimo obtenido en algún proceso combinatorio, de cubrimientos de un grafo por medio de familias de otros grafos, por separación en subfamilias de grafos inducidos, etc.

Estas técnicas requieren de una gran cantidad de cálculo en virtud de que se debe analizar exhaustivamente el grafo para lograr obtener el parámetro deseado. Si el grafo tiene un número de vertices pequeño, el cálculo se podría realizar con mayor o menor dificultad requiriéndose en la mayoría de los casos una gran cantidad de tiempo. Sin embargo, cuando se trabaja con grafos con un número de vértices muy grande o bien con familias infinitas de grafos, estas técnicas representan un verdadero desafío para el investigador. Un número muy elevado de vértices implica necesariamente una gran cantidad de tiempo de proceso y, dependiendo de lo complicado que sean los cálculos, obtener resultados será una tarea difícil incluso usando ordenadores de alto desempeño y los mejores programas que se tengan a mano. Más aún, dado que la representación de un grafo no impone ninguna restricción en especial sobre la ubicación de los vértices ni de la longitud o forma de sus aristas, la forma en que se represente el grafo puede complicar aun más su estudio.

*Escuela de Matemática, Universidad de Costa Rica

Por lo tanto, es necesario representar un grafo de forma tal que permita identificar características como por ejemplo conectividad, simetrías, grafos inducidos, caminos maximales etc.

En este artículo se expone una manera de representar un grafo G llamada **encrustamientos circulares en el sentido horario**. Esta técnica permite no solo visualizar el grafo en una forma ordenada sino también permite obtener información de este, de sus subgrafos inducidos y de su grafo complementario.

Además se mostrará como esta técnica permite la demostración de la conjetura delta para algunas familias infinitas de grafos simples y conexos constituyéndose así en una herramienta valiosa en el estudio de la teoría de grafos.

2. Preliminares de la teoría de grafos

En esta sección daremos algunas definiciones y resultados de la teoría de grafos las cuales serán usadas en las secciones siguientes. Mayores detalles se pueden encontrar en [8, 9, 14].

Un **grafo** $G(V, E)$ es un par ordenado $(V(G), E(G))$, donde $V(G)$ es el conjunto de vértices y $E(G)$ es el conjunto de aristas junto con una **función de incidencia** $\psi(G)$ que asocia cada arista de G un par no ordenado de vértices (no necesariamente distintos) de G . El **orden** de G , denotado $|G|$, es el número de vértices en G . Un grafo se dice ser **simple** si no tiene bucles o múltiples aristas entre dos vértices dados. El **complemento** de un grafo $G(V, E)$ es el grafo $\bar{G} = (V, \bar{E})$, donde \bar{E} consiste de todas las aristas que no están en E . Un **subgrafo** $H = (V(H), E(H))$ of $G = (V, E)$ es un grafo con $V(H) \subseteq V(G)$ y $E(H) \subseteq E(G)$. Un **subgrafo inducido** H de G , denotado $G[V(H)]$, es un subgrafo con $V(H) \subseteq V(G)$ and $E(H) = \{\{i, j\} \in E(G) : i, j \in V(H)\}$. Algunas veces denotamos la arista $\{i, j\}$ como ij . Decimos que dos vértices de un grafo G son **adyacentes**, denotado $v_i \sim v_j$, si existe una arista $\{v_i, v_j\}$ en G . De otra forma decimos que dos vértices v_i and v_j son **no adyacentes** y denotamos esto por $v_i \not\sim v_j$. Sea $N(v)$ el conjunto de vértices que son adyacentes al vértice v y sea $N[v] = \{v\} \cup N(v)$.

El **grado** de un vértice v en G , denotado $d_G(v)$, es la cardinalidad de $N(v)$. Si $d_G(v) = 1$ entonces v se llama **vértice colgante** de G . Usamos $\delta(G)$ para denotar el grado mínimo de los vértices en G , mientras que $\Delta(G)$ denotará el máximo grado de los vértices en G .

Dos grafos $G(V, E)$ and $H(V', E')$ son **idénticos**, y se denota $G = H$, si $V = V'$, $E = E'$, y $\psi_G = \psi_H$. Dos grafos $G(V, E)$ y $H(V', E')$ son **isomorfos**, y se denota por $G \cong H$, si existen biyecciones $\theta : V \rightarrow V'$ y $\phi : E \rightarrow E'$ tal que $\psi_G(e) = \{u, v\}$ si y solo si $\psi_H(\phi(e)) = \{\theta(u), \theta(v)\}$. Un **grafo completo** es un grafo simple en el cual los vértices son dos a dos adyacentes. Usaremos nG para denotar n copias de un grafo G . Por ejemplo, $3K_1$ denota tres vértices aislados K_1 mientras que $2K_2$ es el grafo dado por dos copias disconexas de K_2 . Un **camino** es una lista de vértices distintos en la cual los vértices sucesivos están conectados por una arista. Un camino de n vértices se denota P_n . Un grafo G se dice ser **conexo** si hay un camino entre cualesquiera dos vértices de G . Un **ciclo** de n vértices, denotado C_n , es un camino donde el punto inicial y final son el mismo. Un **árbol** es un grafo conectado sin ciclos. Un grafo $G(V, E)$ se llama **cordal** si no tiene ciclos inducidos C_n con $n \geq 4$. Una **componente** de un grafo $G(V, E)$ es un subgrafo maximal

conexo. Un **vértice de corte** es un vértice cuya eliminación incrementa el número de componentes. la **unión** $G \cup G_2$ de dos grafos $G_1(V_1, E_1)$ y $G_2(V_2, E_2)$ es la unión de sus conjuntos de vértices y aristas, esto es $G \cup G_2(V_1 \cup V_2, E_1 \cup E_2)$. Donde V_1 y V_2 son conjuntos disjuntos la unión se llama **unión disjunta** y se denota $G_1 \sqcup G_2$.

3. El Rango Mínimo Semidefinido de un Grafo

En esta sección establecemos algunos de los resultados conocidos para el rango mínimo semidefinido (msr) de un grafo G que será usado en las secciones siguientes.

Una **matriz positiva** A es una matriz Hermitiana $n \times n$ tal que $x^*Ax > 0$ para todo vector $x \in \mathbb{C}^n$ no nulo. Equivalentemente, A es una matriz Hermitiana definida positiva $n \times n$ si y solo si todos los eigenvalores de A son positivos ([20], p.250).

Una matriz Hermitiana $n \times n$ tal que $x^*Ax \geq 0$ para todo $x \in \mathbb{C}^n$ se llama **semi-definida positiva (psd)**. Equivalentemente, A es una matriz Hermitiana Semidefinida Positiva $n \times n$ si y solo si A has all eigenvalores no negativos ([20], p.182).

Si $\vec{V} = \{\vec{v}_1, \vec{v}_2, \dots, \vec{v}_n\} \subset \mathbb{R}^m$ es un conjunto de vectores columna entonces la matriz $A^T A$, where $A = [\vec{v}_1 \ \vec{v}_2 \ \dots \ \vec{v}_n]$ y A^T representa la matriz transpuesta de A , es una matriz psd llamada la **matriz de Gram** of \vec{V} . Sea $G(V, E)$ un grafo asociado con una matriz de Gram. Entonces $V_G = \{v_1, \dots, v_n\}$ corresponde a un conjunto de vectores en \vec{V} and $E(G)$ corresponde a los productos internos no nulos entre los vectores en \vec{V} . En este caso \vec{V} es llamada una **representación ortogonal** de $G(V, E)$ in \mathbb{R}^m . Si tal representación ortogonal existe para G entonces $\text{msr}(G) \leq m$. Se dice que dos vectores \vec{v}_i, \vec{v}_j de una representación ortogonal de un grafo simple conexo satisfacen una **relación de ortogonalidad** si $\vec{v}_i \cdot \vec{v}_j = 0$. En caso contrario se dice que satisfacen una **relación de adyacencia**.

Algunos de los resultados más comunes acerca del rango mínimo semidefinido de un grafo son los siguientes:

Resultado. 1. [19] Si T es un árbol entonces $\text{msr}(T) = |T| - 1$.

Resultado. 2. [11] El Ciclo C_n tiene rango mínimo semidefinido $n - 2$.

Resultado. 3. [11] Si un grafo conexo G tiene un vertice colgante v , entonces $\text{msr}(G) = \text{msr}(G - v) + 1$ donde $G - v$ es el subgrafo inducido de G al eliminar v .

Resultado. 4. [18] Si G es un grafo cordal y conexo entonces $\text{msr}(G) = \text{cc}(G)$.

Resultado. 5. [10] Si un grafo $G(V, E)$ tiene un vértice de corte tal que $G = G_1 \cdot G_2$, entonces $\text{msr}(G) = \text{msr}(G_1) + \text{msr}(G_2)$.

Las dos definiciones siguientes nos dan dos familias de grafos que son importantes en el estudio del rango mínimo semidefinido de un grafo simple conexo. La primera es la definición de un δ -grafo.

Definición 1. Suponga que $G = (V, E)$ con $|G| = n \geq 4$ es simple y conexo tal que $\bar{G} = (V, \bar{E})$ es también simple y conexo. Decimos que G es un **δ -grafo** si se puede etiquetar los vértices de G de forma tal que:

- (1) el grafo inducido de los vértices v_1, v_2, v_3 en G es o bien $3K_1$ o $K_2 \sqcup K_1$, y
- (2) para $m \geq 4$, el vértice v_m es adjacente a todos los vértices previos v_1, v_2, \dots, v_{m-1} excepto a lo sumo $\lfloor \frac{m}{2} - 1 \rfloor$ vértices.

La segunda se refiere a una familia de grafos que contiene al complemento de un δ -grafo.

Definición 2. Suponga que un grafo $G(V, E)$ con $|G| = n \geq 4$ es simple y conexo tal que $\overline{G} = (V, \overline{E})$ es también simple y conexo. Decimos que $G(V, E)$ es un **C- δ -grafo** si \overline{G} es un δ -grafo. en otras palabras, G es un **C- δ graph** si podemos etiquetar los vértices de G de forma tal que

- (1) el grafo inducido de los vértices v_1, v_2, v_3 in G es o bien K_3 o P_3 , y
- (2) para $m \geq 4$, el vértice v_m es adyacente a a lo sumo $\lfloor \frac{m}{2} - 1 \rfloor$ de los vértices previos.

Ejemplo. 1. El ciclo $C_n, n \geq 6$ es un C- δ grafo y su complemento es un δ -grafo.

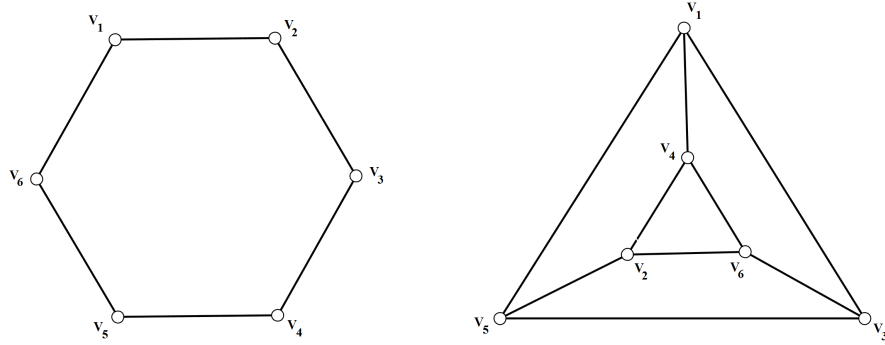


Figura 1: The Graphs C_6 and the 3-Prism

Note que podemos etiquetar los vértices de C_6 en sentido horario $v_1, v_2, v_3, v_4, v_5, v_6$. El grafo inducido por v_1, v_2, v_3 es P_3 . El vértice v_4 es adyacente al vértice previo que es v_3 . Also, vértice v_5 es adyacente a v_4 y el vértice v_6 es adyacente a dos de los vértices previos v_1 y v_5 . Así, C_6 es un C- δ -graph. El 3-prisma, el cual es isomorfo a el complemento de C_6 , es un δ -grafo.

En [15] se probó el siguiente resultado

Teorema 1. Sea $G(V, E)$ un δ -grafo entonces

$$\text{msr}(G) \leq \Delta(\overline{G}) + 1 = |G| - \delta(G)$$

La conjetura delta postulada en 2006 en el AIM workshop de 2006 in Palo Alto, California, indica que para todo grafo G simple y conexo se tiene que $\text{msr}(G) \leq |G| - \delta(G)$. Detalles de esta conjetura se puede encontrar en [13]. Dado que el $\text{msr}(G)$ es la mínima dimensión en la que se puede encontrar una representación ortogonal para el grafo G , el teorema anterior claramente establece la validez de esta conjetura para todo δ -grafo.

4. Encrustamientos circulares de grafos

Como se indicó anteriormente, la representación de un grafo simple conexo no depende de la posición en que se ubiquen los vértices ni de la longitud o forma de las aristas que unen estos vértices. En esta sección mostramos como representar un grafo por medio de un encrustamiento de este en un círculo dado.

Definición 3. Sea $G(V_1, E_1)$ un grafo simple conexo. Sea $V = \{v_1, v_2, \dots, v_n\}$ el conjunto de vértices de G . La **representación circular en sentido horario** del grafo G es la representación gráfica que se obtiene cuando sus vértices v_1, v_2, \dots, v_n , se colocan sobre un círculo de forma tal que dos vértices consecutivos subtiendan un arco de $\frac{2\pi}{n}$ y se colocan en sentido horario en orden creciente de índices.

Ejemplo. 2. La escalera de Möbius de orden $2n$, ML_{2n} tiene tradicionalmente la siguiente representación la cual es básicamente una escalera incrustada en una cinta de Möbius.

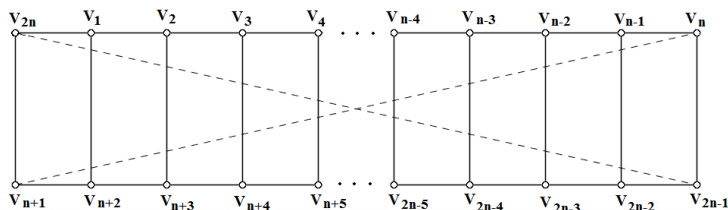


Figura 2: Escalera de Möbius de orden $2n$

Aplicando la definición de la representación circular en sentido horario obtenemos la siguiente representación para ML_{2n}

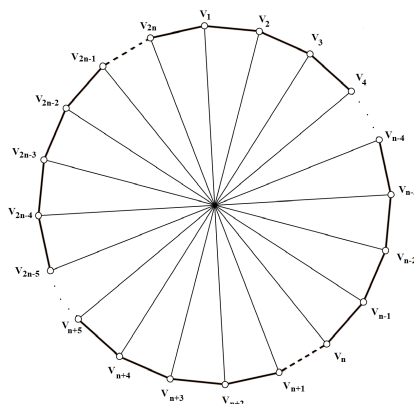


Figura 3: Escalera de Möbius de orden $2n$

Las representaciones circulares en sentido horario son especialmente útiles cuando representamos operaciones con grafos. Un ejemplo de esto es el caso de la operación llamada **producto cartesiano** que se define de la siguiente manera:

Definición 4. *El Producto Cartesiano $G \square H$ de dos grafos simples y conexos $G(V_1, E_1)$ y $H(V_2, E_2)$ es el grafo cuyo conjunto de vértices es $V_1 \times V_2$ y el conjunto de aristas se define como sigue:*

$$(u, v) \sim (u', v') \Leftrightarrow \begin{cases} (u = u') \wedge (vv' \in E(H)) \\ (v = v') \wedge (uu' \in E(G)) \end{cases} \quad (1)$$

Como caso particular consideremos el producto cartesiano de un grafo completo K_3 y un camino P_4 . Usando una forma tradicional para representar este grafo y con un poco de trabajo podríamos, después de cierto trabajo obtener una representación como la siguiente en donde se aprecia que ésta operación produce cuatro copias de K_3 y tres copias de P_4 . Cada una de las cuatro copias de K_3 tiene un vértice en cada una de las copias de P_4 .

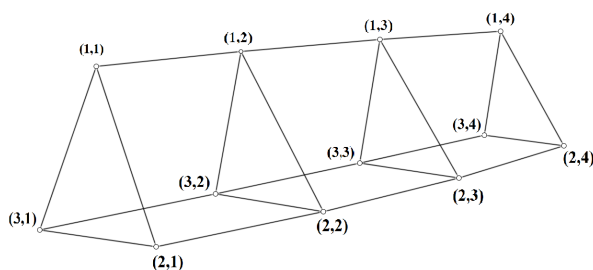


Figura 4: Producto Cartesiano $K_3 \square P_4$

Aplicando la definición de la representación circular horaria a $K_3 \square P_4$ se obtiene el siguiente grafo equivalente al grafo de la figura 4.

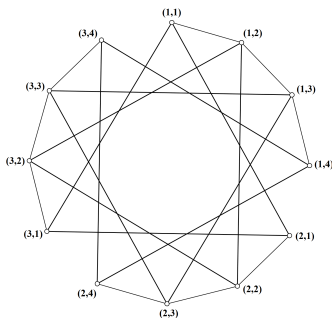


Figura 5: Representación circular del Producto Cartesiano $K_3 \square P_4$

Mas aún, las representaciones circulares horarias de grafos son extremadamente útiles para determinar el grafo complementario \overline{G} de un grafo G ya que la posición de los vértices en el círculo es la misma para ambos grafos y el trazo del grafo complementario se obtiene fácilmente de observar las aristas faltantes del grafo completo K_n del cual G es un subgrafo inducido. Por ejemplo, tomando de nuevo la representación del producto cartesiano $K_3 \square P_4$ de la figura 4, si colocamos los vértices de $K_3 \square P_4$ en la misma posición y dibujamos el grafo complementario $\overline{K_3 \square P_4}$ se obtiene una representación como la siguiente:

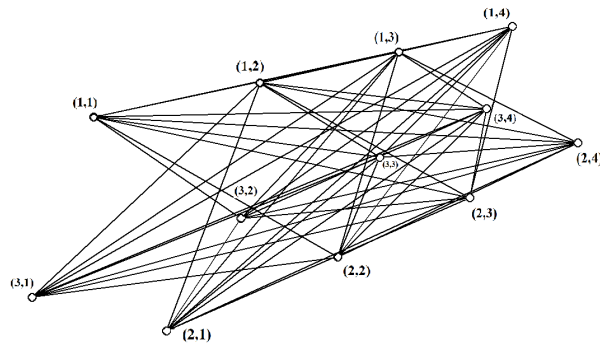


Figura 6: Grafo Complementario del Producto Cartesiano $K_3 \square P_4$

Sin embargo, si representamos el grafo $\overline{K_3 \square P_4}$ usando la representación circular en sentido horario se obtiene

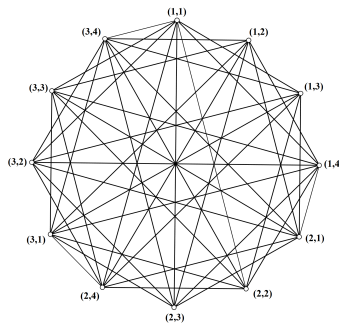


Figura 7: Grafo Complementario del Producto Cartesiano $K_3 \square P_4$

Claramente, es una forma más sencilla de representar $\overline{K_3 \square P_4}$ desde la cual se pueden observar las relaciones de adyacencia entre los vértices.

5. Representaciones circulares y rango mínimo semidefinido

Las representaciones circulares de grafos simples conexos son útiles en el análisis matricial y la teoría de grafos pues nos permite calcular de manera relativamente sencilla una representación ortogonal de cualquier grafo simple conexo. La complejidad de los cálculos depende de lo complejo que sea el grafo simple conexo. Consideremos por ejemplo el grafo $K_3 \square P_4$ y su grafo complementario. Después de realizar el encrustamiento circular de ambos grafos las representaciones de estos está dada en la siguiente figura.

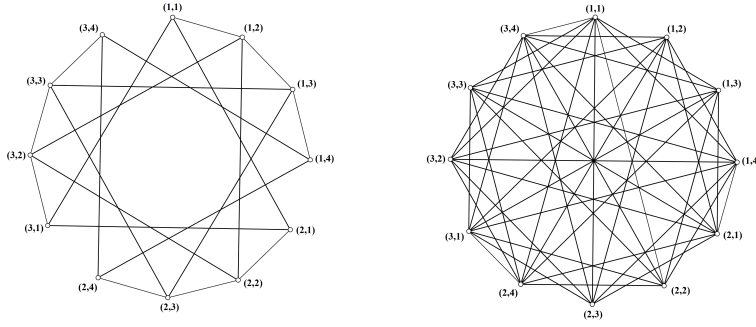


Figura 8: Grafo $K_3 \square P_4$ su complemento $\overline{K_3 \square P_4}$

De [15] se sabe que $\Delta(K_n \square P_4) = n + 1$ y además es un δ - grafo, por lo tanto, en virtud del teorema 1 se tiene que $\text{msr}(K_3 \square P_4) \leq 5$. En consecuencia debe ser posible encontrar una representación ortogonal de vectores linealmente independientes para el grafo $K_3 \square P_4$.

La técnica descrita en la demostración de 1 en [15] para calcular la representación ortogonal de un δ - grafo consiste en calcular las representaciones ortogonales de cada uno de los grafos inducidos de una secuencia $Y_1 \subseteq Y_2 \subseteq \dots \subseteq Y_n = K_3 \square P_4$ de $K_3 \square P_4$ que se obtienen al ir agregando un vértice a la vez y calcularle su respectiva representación vectorial de forma tal que se satisfagan las condiciones de adyacencia y ortogonalidad del subgrafo inducido.

Sean e_1, e_2, \dots, e_5 son los vectores canónicos de \mathbb{R}^5 . El primer paso consiste en enumerar los vértices de $K_3 \square P_4$ en la forma $v_1 = (1, 1), v_2 = (1, 2), \dots, v_{12} = (3, 4)$ siguiendo el sentido horario. Con esto se genera una secuencia de subgrafos inducidos $Y_1(v_1), Y_2(v_1, v_2), \dots, Y_n(v_1, v_2, v_n) = K_3 \square P_4$. Luego aplicando condiciones de adyacencia y ortogonalidad definidas por el grafo, esto es $v_i \cdot v_j = 0$ si $i \neq j$ y $v_i \cdot v_j \neq 0$ se obtiene una secuencia de sistemas de ecuaciones lineales no homogéneas $A_i v_i = d_i, i = 1, 2, \dots, n$ donde algunas de las entradas del vector $d_i, i = 1, \dots, n$ son no nulas. Como no importa cual es el valor no nulo de las entradas n o nulas de d_i , estas se podrían considerar como variables auxiliares que permite transformar el sistema no homogéneo en un $A_i v_i = d_i, i = 1, 2, \dots, n$ en un sistema homogéneo $Aw = 0, w \in \mathbb{R}^{5+p}$ donde p es el número de entradas no nulas del vector d_i del sistema $A_i v_i = d_i, i = 1, 2, \dots, n$. Esto da un margen de libertad mayor para escoger las soluciones de las entradas del vector v_i y permite encontrar una representación ortogonal de $Y_i, i = 1, 2, \dots, n$ de vectores linealmente independientes.

Si suponemos que $\vec{v}_i = k_{i,1} \vec{e}_1 + k_{i,2} \vec{e}_2 + k_{i,3} \vec{e}_3 + k_{i,4} \vec{e}_4 + k_{i,5} \vec{e}_5$ es la representación vectorial del vector $\vec{v}_i, i = 1, 2, \dots, 12$ de la representación ortogonal de $K_3 \square P_4$ que buscamos entonces el cálculo de la representación ortogonal de $K_3 \square P_4$ usando la técnica descrita en [15] es el siguiente:

- **Vértice $v_1 = (1, 1)$.**

Sea $\vec{v}_1 = k_{1,1} \vec{e}_1 + k_{1,2} \vec{e}_2 + k_{1,3} \vec{e}_3 + k_{1,4} \vec{e}_4 + k_{1,5} \vec{e}_5$. Podemos comenzar con cualquier vector no nulo. Tome

$$\vec{v}_1 = \vec{e}_1.$$

- **Vértice $v_2 = (1, 2)$.**

sea $\vec{v}_2 = k_{2,1} \vec{e}_1 + k_{2,2} \vec{e}_2 + k_{2,3} \vec{e}_3 + k_{2,4} \vec{e}_4 + k_{2,5} \vec{e}_5$. Como v_2 no es adyacente

a v_1 in $\overline{K_3 \square P_4}$, se obtiene una sola ecuación $k_{2,1} = 0$. todas las otras entradas son variables libres. Entonces we choose

$$\vec{v}_2 = \vec{e}_2.$$

Claramente $\langle v_1, v_2 \rangle = 0$ y se satisfacen las condiciones de adyacencia y ortogonalidad en el subgrafo inducido $Y_2(V_1, v_2)$.

■ **Vértice $v_3 = (1, 3)$.**

Sea $\vec{v}_3 = k_{3,1} \vec{e}_1 + k_{3,2} \vec{e}_2 + k_{3,3} \vec{e}_3 + k_{3,4} \vec{e}_4 + k_{3,5} \vec{e}_5$.

Como v_3 no es adyacente a v_2 en $\overline{K_3 \square P_4}$ pero es adyacente a v_1 obtenemos las ecuaciones $k_{3,1} = g_{3,1}$, $g_{3,1} \neq 0$ y $k_{3,2} = 0$. Las demás entradas son variables libres. Así se obtiene la siguiente matriz:

$$A = \begin{pmatrix} 1 & 0 & 0 & 0 & 0 & -1 \\ 0 & 1 & 0 & 0 & 0 & 0 \end{pmatrix}$$

Entonces, podemos escoger $g_{3,1} = 1$. Luego $k_{3,1} = 1$ y $k_{3,2} = 0$. las otras dos entradas son variables libre. Como el vector v_3 debe ser dos a dos linealmente independiente con v_1 y v_2 necesitamos escoger otra nueva variable libre no nula. Sea $k_{3,3} = 1$ entonces

$$\vec{v}_3 = \vec{e}_1 + \vec{e}_3.$$

Así, $\langle \vec{v}_1, \vec{v}_3 \rangle = 1$ and $\langle \vec{v}_2, \vec{v}_3 \rangle = 0$ y se satisfacen las condiciones de adyacencia y ortogonalidad en el subgrafo inducido $Y_3(V_1, v_2, v_3)$.

■ **Vértice $v_4 = (1, 4)$.**

Sea $\vec{v}_4 = k_{4,1} \vec{e}_1 + k_{4,2} \vec{e}_2 + k_{4,3} \vec{e}_3 + k_{4,4} \vec{e}_4 + k_{4,5} \vec{e}_5$. Como v_4 no es adyacente a v_3 en $\overline{K_3 \square P_4}$ pero es adyacente a v_1 and v_2 obtenemos las ecuaciones $k_{4,1} = g_{4,1}$, $k_{4,2} = g_{4,2}$, $g_{4,1} \neq 0$, $g_{4,2} \neq 0$ y $k_{4,3} = 0$. De esta forma obtenemos la matriz:

$$\begin{pmatrix} 1 & 0 & 0 & 0 & 0 & -1 & 0 \\ 0 & 1 & 0 & 0 & 0 & 0 & -1 \\ 1 & 0 & 1 & 0 & 0 & 0 & 0 \end{pmatrix} \sim \begin{pmatrix} 1 & 0 & 0 & 0 & 0 & -1 & 0 \\ 0 & 1 & 0 & 0 & 0 & 0 & -1 \\ 0 & 0 & 1 & 0 & 0 & 1 & 0 \end{pmatrix}$$

De este cálculo se puede escoger $g_{4,1} = g_{4,2} = 1$ y $k_{4,3} = -1$. entonces $k_{4,1} = 1$, $k_{4,2} = 1$, y $k_{4,3} = -1$. Pero en tal caso se hace imposible satisfacer la condición de ortogonalidad $\langle v_3, v_4 \rangle = 0$. Como los sistemas para v_1 and v_3 tienen variables libres podemos usar una técnica de rastreo, redefinir el vector \vec{v}_1 as $\vec{v}_1 = \vec{e}_1 + \vec{e}_4$ y obtener la matriz :

$$\begin{pmatrix} 1 & 0 & 0 & 1 & 0 & -1 & 0 \\ 0 & 1 & 0 & 0 & 0 & 0 & -1 \\ 1 & 0 & 1 & 0 & 0 & 0 & 0 \end{pmatrix} \sim \begin{pmatrix} 1 & 0 & 0 & 1 & 0 & -1 & 0 \\ 0 & 1 & 0 & 0 & 0 & 0 & -1 \\ 0 & 0 & 1 & -1 & 0 & 1 & 0 \end{pmatrix}$$

Así, podemos resolver todas las condiciones de ortogonalidad y adyacencia para obtener, $k_{4,1} = -k_{4,4} + g_{4,1}$, $k_{4,2} = g_{4,2}$, $k_{4,3} = k_{4,4} - g_{4,1}$. Escogiendo $g_{4,1} = 2$, $g_{4,2} = 1$, y $k_{4,4} = 1$ obtenemos $k_{4,1} = 1$, $k_{4,2} = 1$, y $k_{4,3} = -1$. Así

$$\vec{v}_4 = \vec{e}_1 + \vec{e}_2 - \vec{e}_3 + \vec{e}_4.$$

Entonces $\langle v_1, v_4 \rangle = 2$, $\langle v_2, v_4 \rangle = 1$, $\langle v_3, v_4 \rangle = 0$. En consecuencia, todas las condiciones de adyacencia y ortogonalidad se satisfacen.

■ **Vértice** $v_5 = (2, 1)$.

Let $\vec{v}_5 = k_{5,1}\vec{e}_1 + k_{5,2}\vec{e}_2 + k_{5,3}\vec{e}_3 + k_{5,4}\vec{e}_4 + k_{5,5}\vec{e}_5$.

El vértice v_5 es adyacente a v_2, v_3 , y a v_4 en $\overline{K_3 \square P_4}$ pero no es adyacente a v_1 . De estas condiciones se obtienen las ecuaciones $k_{5,1} + k_{5,4} = 0, k_{5,2} - g_{5,2} = 0, k_{5,1} + k_{5,3} - g_{5,3} = 0$, and $k_{5,1} + k_{5,2} - k_{5,3} + k_{5,4} - g_{5,4} = 0$. Así obtenemos la matriz:

$$\begin{pmatrix} 1 & 0 & 0 & 1 & 0 & 0 & 0 & 0 \\ 0 & 1 & 0 & 0 & 0 & -1 & 0 & 0 \\ 1 & 0 & 1 & 0 & 0 & 0 & -1 & 0 \\ 1 & 1 & -1 & 1 & 0 & 0 & 0 & -1 \end{pmatrix} \sim \begin{pmatrix} 1 & 0 & 0 & 0 & 0 & 1 & -1 & -1 \\ 0 & 1 & 0 & 0 & 0 & -1 & 0 & 0 \\ 0 & 0 & 1 & 0 & 0 & -1 & 0 & 1 \\ 0 & 0 & 0 & 1 & 0 & -1 & 1 & 1 \end{pmatrix}.$$

Entonces, escogiendo $g_{5,4} = 1, g_{5,3} = -1$ and $g_{5,2} = 2$ obtenemos $k_{5,4} = 2, k_{5,3} = 1, k_{5,2} = 2$, and $k_{5,1} = -2$. En consecuencia,

$$\vec{v}_5 = -2\vec{e}_1 + 2\vec{e}_2 + \vec{e}_3 + 2\vec{e}_4.$$

Luego $\langle \vec{v}_5, \vec{v}_1 \rangle = 0, \langle \vec{v}_5, \vec{v}_2 \rangle = 2, \langle \vec{v}_5, \vec{v}_3 \rangle = -1, \langle \vec{v}_5, \vec{v}_4 \rangle = 1$ y las condiciones de adyacencia y ortogonalidad se satisfacen.

■ **Vértice** $v_6 = (2, 2)$.

Sea $\vec{v}_6 = k_{6,1}\vec{e}_1 + k_{6,2}\vec{e}_2 + k_{6,3}\vec{e}_3 + k_{6,4}\vec{e}_4 + k_{6,5}\vec{e}_5$. El vértice v_6 es adyacente con v_1, v_3 , y v_4 en $\overline{K_3 \square P_4}$ pero no es adyacente con v_2 and v_5 . De estas condiciones obtenemos las ecuaciones $k_{6,1} + k_{6,4} - g_{6,1} = 0, k_{6,2} = 0, k_{6,1} + k_{6,3} - g_{6,3} = 0, k_{6,1} + k_{6,2} - k_{6,3} + k_{6,4} - g_{6,4} = 0$, and $-2k_{6,1} + 2k_{6,2} + k_{6,3} + 2k_{6,4} = 0$. La matriz de este sistema es:

$$\begin{pmatrix} 1 & 0 & 0 & 1 & 0 & -1 & 0 & 0 \\ 0 & 1 & 0 & 0 & 0 & 0 & 0 & 0 \\ 1 & 0 & 1 & 0 & 0 & 0 & -1 & 0 \\ 1 & 1 & -1 & 1 & 0 & 0 & 0 & -1 \\ -2 & 2 & 1 & 2 & 0 & 0 & 0 & 0 \end{pmatrix} \sim \begin{pmatrix} 1 & 0 & 0 & 0 & 0 & 0 & -\frac{3}{7} & -\frac{2}{7} \\ 0 & 1 & 0 & 0 & 0 & 0 & 0 & 0 \\ 0 & 0 & 1 & 0 & 0 & 0 & -\frac{4}{7} & \frac{2}{7} \\ 0 & 0 & 0 & 1 & 0 & 0 & -\frac{1}{7} & -\frac{3}{7} \\ 0 & 0 & 0 & 0 & 0 & 1 & -\frac{4}{7} & -\frac{5}{7} \end{pmatrix}$$

Así, si $g_{6,3} = g_{6,4} = 7$ we get $g_{6,1} = 9$ todas las condiciones de adyacencia y ortogonalidad se satisfacen. También, $k_{6,4} = 4, k_{6,3} = 2, k_{6,2} = 0$, and $k_{6,1} = 5$. De esta forma,

$$\vec{v}_6 = 5\vec{e}_1 + 2\vec{e}_3 + 4\vec{e}_4.$$

Luego, $\langle v_6, v_1 \rangle = 9, \langle v_6, v_2 \rangle = 0, \langle v_6, v_3 \rangle = 7, \langle v_6, v_4 \rangle = 7, \langle v_6, v_5 \rangle = 0$.

■ **Vértice** $v_7 = (2, 3)$.

Sea $\vec{v}_7 = k_{7,1}\vec{e}_1 + k_{7,2}\vec{e}_2 + k_{7,3}\vec{e}_3 + k_{7,4}\vec{e}_4 + k_{7,5}\vec{e}_5$.

El vértice v_7 es adyacente con v_1, v_2, v_4 , y v_5 en $\overline{K_3 \square P_4}$ pero no es adyacente a v_3 y v_6 . De estas condiciones obtenemos las ecuaciones the equations: $k_{7,1} + k_{7,4} - g_{7,1} = 0, k_{7,2} - g_{7,2} = 0, k_{7,1} + k_{7,3} = 0, k_{7,1} + k_{7,2} - k_{7,3} + k_{7,4} - g_{7,4} = 0, -2k_{7,1} + 2k_{7,2} + k_{7,3} + 2k_{7,4} - g_{7,5} = 0$, y $5k_{7,1} + 2k_{7,3} + 4k_{7,4} = 0$. Así obtenemos la matriz:

$$\begin{pmatrix} 1 & 0 & 0 & 1 & 0 & -1 & 0 & 0 & 0 \\ 0 & 1 & 0 & 0 & 0 & 0 & -1 & 0 & 0 \\ 1 & 0 & 1 & 0 & 0 & 0 & 0 & 0 & 0 \\ 1 & 1 & -1 & 1 & 0 & 0 & 0 & -1 & 0 \\ -2 & 2 & 1 & 2 & 0 & 0 & 0 & 0 & -1 \\ 5 & 0 & 2 & 4 & 0 & 0 & 0 & 0 & 0 \end{pmatrix} \sim \begin{pmatrix} 1 & 0 & 0 & 0 & 0 & 0 & 0 & -\frac{2}{7} & \frac{1}{7} \\ 0 & 1 & 0 & 0 & 0 & 0 & 0 & -\frac{9}{14} & -\frac{5}{28} \\ 0 & 0 & 1 & 0 & 0 & 0 & 0 & \frac{2}{7} & -\frac{1}{7} \\ 0 & 0 & 0 & 1 & 0 & 0 & 0 & \frac{3}{14} & -\frac{3}{28} \\ 0 & 0 & 0 & 0 & 0 & 1 & 0 & -\frac{1}{14} & \frac{1}{28} \\ 0 & 0 & 0 & 0 & 0 & 0 & 1 & -\frac{9}{14} & -\frac{5}{28} \end{pmatrix}$$

Entonces, si $g_{7,4} = 14$, $g_{7,5} = -28$ luego $g_{7,2} = 4$, $g_{7,1} = 2$ y todas las condiciones de adyacencia y ortogonalidad se satisfacen. También $k_{7,4} = -6$, $k_{7,3} = -8$, $k_{7,2} = 4$, y $k_{7,1} = 8$. Así,

$$\vec{v}_7 = 8\vec{e}_1 + 4\vec{e}_2 - 8\vec{e}_3 - 6\vec{e}_4.$$

Entonces, $\langle \vec{v}_7, \vec{v}_1 \rangle = 2$, $\langle \vec{v}_7, \vec{v}_2 \rangle = 4$, $\langle \vec{v}_7, \vec{v}_3 \rangle = 0$, $\langle \vec{v}_7, \vec{v}_4 \rangle = 14$, $\langle \vec{v}_7, \vec{v}_5 \rangle = -28$, $\langle \vec{v}_7, \vec{v}_6 \rangle = 0$.

■ **Vértice $v_8 = (2, 4)$.**

Sea $\vec{v}_8 = k_{8,1}\vec{e}_1 + k_{8,2}\vec{e}_2 + k_{8,3}\vec{e}_3 + k_{8,4}\vec{e}_4 + k_{8,5}\vec{e}_5$.

El vértice v_8 es adyacente con v_1, v_2, v_3, v_5 , y v_6 en $\overline{K_3 \square P_4}$ pero no es adyacente con v_4 y v_7 . Aplicando estas condiciones se obtienen las ecuaciones: $k_{8,1} + k_{8,4} - g_1 = 0$, $k_{8,2} - g_{8,2} = 0$, $k_{8,1} + k_{8,3} - g_{8,3} = 0$, $k_{8,1} + k_{8,2} - k_{8,3} + k_{8,4} = 0$, $-2k_{8,1} + 2k_{8,2} + k_{8,3} + 2k_{8,4} - g_{8,5} = 0$, $5k_{8,1} + 2k_{8,3} + 4k_{2,4} - g_{8,6} = 0$, y $8k_{8,1} + 4k_{8,2} - 8k_{8,3} - 6k_{8,4} = 0$. La matriz de este sistema es:

$$\begin{pmatrix} 1 & 0 & 0 & 1 & 0 & -1 & 0 & 0 & 0 & 0 \\ 0 & 1 & 0 & 0 & 0 & 0 & -1 & 0 & 0 & 0 \\ 1 & 0 & 1 & 0 & 0 & 0 & 0 & -1 & 0 & 0 \\ 1 & 1 & -1 & 1 & 0 & 0 & 0 & 0 & 0 & 0 \\ -2 & 2 & 1 & 2 & 0 & 0 & 0 & 0 & -1 & 0 \\ 5 & 0 & 2 & 4 & 0 & 0 & 0 & 0 & 0 & -1 \\ 8 & 4 & -8 & -6 & 0 & 0 & 0 & 0 & 0 & 0 \end{pmatrix} \sim \begin{pmatrix} 1 & 0 & 0 & 0 & 0 & 0 & 0 & 0 & \frac{2}{107} & -\frac{15}{107} \\ 0 & 1 & 0 & 0 & 0 & 0 & 0 & 0 & -\frac{107}{49} & -\frac{107}{7} \\ 0 & 0 & 1 & 0 & 0 & 0 & 0 & 0 & -\frac{107}{33} & -\frac{107}{20} \\ 0 & 0 & 0 & 1 & 0 & 0 & 0 & 0 & -\frac{107}{14} & -\frac{107}{2} \\ 0 & 0 & 0 & 0 & 1 & 0 & 0 & 0 & \frac{107}{16} & \frac{107}{13} \\ 0 & 0 & 0 & 0 & 0 & 1 & 0 & 0 & \frac{107}{49} & -\frac{107}{7} \\ 0 & 0 & 0 & 0 & 0 & 0 & 1 & 0 & -\frac{107}{31} & -\frac{107}{35} \\ 0 & 0 & 0 & 0 & 0 & 0 & 0 & 1 & -\frac{107}{107} & -\frac{107}{107} \end{pmatrix}$$

Así, si $g_{8,5} = g_{8,6} = 107$ entonces $g_{8,3} = 70$, $g_{8,2} = 56$, $g_{8,1} = 3$ y se satisfacen las condiciones de adyacencia y ortogonalidad. También $k_{8,4} = -16$, $k_{8,3} = 53$, $k_{8,2} = 56$, and $k_{8,1} = 13$. Luego,

$$\vec{v}_8 = 13\vec{e}_1 + 56\vec{e}_2 + 53\vec{e}_3 - 16\vec{e}_4.$$

En consecuencia, $\langle v_8, v_1 \rangle = -3$, $\langle v_8, v_2 \rangle = 56$, $\langle v_8, v_3 \rangle = 66$, $\langle v_8, v_4 \rangle = 0$, $\langle v_8, v_5 \rangle = 107$, $\langle v_8, v_6 \rangle = 107$, $\langle v_8, v_7 \rangle = 0$.

■ **Vértice $v_9 = (3, 1)$.**

Let $\vec{v}_9 = k_{9,1}\vec{e}_1 + k_{9,2}\vec{e}_2 + k_{9,3}\vec{e}_3 + k_{9,4}\vec{e}_4 + k_{9,5}\vec{e}_5$.

El vértice v_9 es adyacente con v_2, v_3, v_4, v_6, v_7 y v_8 en $\overline{K_3 \square P_4}$ pero no es adyacente con v_1 y v_5 . aplicando estas condiciones obtenemos las ecuaciones: $k_{9,1} + k_{9,4} = 0$, $k_{9,2} - g_2 = 0$, $k_{9,1} + k_{9,3} - g_{9,3} = 0$, $k_{9,1} + k_{9,2} - k_{9,3} + k_{9,4} - g_{9,4} = 0$, $-2k_{9,1} + 2k_{9,2} + k_{9,3} + 2k_{9,4} = 0$, $5k_{9,1} + 2k_{9,3} + 4k_{9,4} - g_{9,6} = 0$, $8k_{9,1} + 4k_{9,2} - 8k_{9,3} - 6k_{9,4} - g_{9,7} = 0$ y $13k_{9,1} + 56k_{9,2} + 53k_{9,3} - 16k_{9,4} - g_{9,8} = 0$. La matriz de este sistema es:

$$\begin{pmatrix} 1 & 0 & 0 & 1 & 0 & 0 & 0 & 0 & 0 & 0 & 0 \\ 0 & 1 & 0 & 0 & 0 & -1 & 0 & 0 & 0 & 0 & 0 \\ 1 & 0 & 1 & 0 & 0 & 0 & -1 & 0 & 0 & 0 & 0 \\ 1 & 1 & -1 & 1 & 0 & 0 & 0 & -1 & 0 & 0 & 0 \\ -2 & 2 & 1 & 2 & 0 & 0 & 0 & 0 & 0 & 0 & 0 \\ 5 & 0 & 2 & 4 & 0 & 0 & 0 & 0 & -1 & 0 & 0 \\ 8 & 4 & -8 & -6 & 0 & 0 & 0 & 0 & 0 & -1 & 0 \\ 13 & 56 & 53 & -16 & 0 & 0 & 0 & 0 & 0 & 0 & -1 \end{pmatrix} \sim \begin{pmatrix} 1 & 0 & 0 & 0 & 0 & 0 & 0 & 0 & 0 & -\frac{5}{392} & -\frac{1}{196} \\ 0 & 1 & 0 & 0 & 0 & 0 & 0 & 0 & 0 & -\frac{392}{241} & -\frac{196}{9} \\ 0 & 0 & 1 & 0 & 0 & 0 & 0 & 0 & 0 & \frac{141}{1960} & -\frac{11}{980} \\ 0 & 0 & 0 & 1 & 0 & 0 & 0 & 0 & 0 & \frac{392}{241} & \frac{196}{9} \\ 0 & 0 & 0 & 0 & 1 & 0 & 0 & 0 & 0 & -\frac{392}{241} & -\frac{196}{9} \\ 0 & 0 & 0 & 0 & 0 & 1 & 0 & 0 & 0 & -\frac{392}{241} & -\frac{196}{9} \\ 0 & 0 & 0 & 0 & 0 & 0 & 1 & 0 & 0 & \frac{29}{490} & \frac{235}{1960} \\ 0 & 0 & 0 & 0 & 0 & 0 & 0 & 1 & 0 & -\frac{392}{241} & \frac{196}{9} \\ 0 & 0 & 0 & 0 & 0 & 0 & 0 & 0 & 1 & \frac{297}{1960} & -\frac{27}{980} \end{pmatrix}$$

Entonces, si $g_{9,8} = 1960$, $g_{9,7} = 3920$ then $g_{9,6} = -460$, $g_{9,4} = 510$, $g_{9,3} = -200$, $g_{9,2} = 250$ y todas las condicines de adyacencia y ortogonalidad se satisfacen. También $k_{9,4} = -60$, $k_{9,3} = -260$, $k_{9,2} = 250$, y $k_{9,1} = 60$. en consecuencia

$$\vec{v}_9 = 60\vec{e}_1 + 250\vec{e}_2 - 260\vec{e}_3 - 60\vec{e}_4.$$

Entonces, $\langle \vec{v}_9, \vec{v}_1 \rangle = 0$, $\langle \vec{v}_9, \vec{v}_2 \rangle = 250$, $\langle \vec{v}_9, \vec{v}_3 \rangle = -200$, $\langle \vec{v}_9, \vec{v}_4 \rangle = 510$, $\langle \vec{v}_9, \vec{v}_5 \rangle = 0$, $\langle \vec{v}_9, \vec{v}_6 \rangle = -460$, $\langle \vec{v}_9, \vec{v}_7 \rangle = 1960$, $\langle \vec{v}_9, \vec{v}_8 \rangle = 137300$.

■ **Vértice $v_{10} = (3, 2)$.**

Let $\vec{v}_{10} = k_{10,1}\vec{e}_1 + k_{10,2}\vec{e}_2 + k_{10,3}\vec{e}_3 + k_{10,4}\vec{e}_4 + k_{10,5}\vec{e}_5$.

El vértice v_{10} es adyacente con v_1, v_3, v_4, v_5, v_7 , y v_8 en $\overline{K_3 \square P_4}$ pero no es adyacente con v_2, v_6 ni con v_9 . De estas condiciones obtenemos: $k_{10,1} + k_{10,4} - g_{10,1} = 0$, $k_{10,2} = 0$, $k_{10,1} + k_{10,3} - g_{10,3} = 0$, $k_{10,1} + k_{10,2} - k_{10,3} + k_{10,4} - g_{10,4} = 0$, $-2k_{10,1} + 2k_{10,2} + k_{10,3} + 2k_{10,4} - g_{10,5} = 0$, $5k_{10,1} + 2k_{10,3} + 4k_{10,4} = 0$, $8k_{10,1} + 4k_{10,2} - 8k_{10,3} - 6k_{10,4} - g_{10,7} = 0$, $13k_{10,1} + 56k_{10,2} + 53k_{10,3} - 16k_{10,4} - g_{10,8} = 0$, y $60k_{10,1} + 250k_{10,2} - 260k_{10,3} - 60k_{10,4} = 0$. La matriz del sistema es :

$$\begin{pmatrix} 1 & 0 & 0 & 1 & 0 & -1 & 0 & 0 & 0 & 0 & 0 & 0 \\ 0 & 1 & 0 & 0 & 0 & 0 & 0 & 0 & 0 & 0 & 0 & 0 \\ 1 & 0 & 1 & 0 & 0 & 0 & -1 & 0 & 0 & 0 & 0 & 0 \\ 1 & 1 & -1 & 1 & 0 & 0 & 0 & -1 & 0 & 0 & 0 & 0 \\ -2 & 2 & 1 & 1 & 0 & 0 & 0 & 0 & -1 & 0 & 0 & 0 \\ 5 & 0 & 2 & 4 & 0 & 0 & 0 & 0 & 0 & 0 & 0 & 0 \\ 8 & 4 & -8 & -6 & 0 & 0 & 0 & 0 & 0 & -1 & 0 & 0 \\ 13 & 56 & 53 & -16 & 0 & 0 & 0 & 0 & 0 & 0 & -1 & 0 \\ 60 & 250 & -260 & -60 & 0 & 0 & 0 & 0 & 0 & 0 & 0 & 0 \end{pmatrix} \sim \begin{pmatrix} 1 & 0 & 0 & 0 & 0 & 0 & 0 & 0 & 0 & 0 & 0 & -\frac{46}{3165} \\ 0 & 1 & 0 & 0 & 0 & 0 & 0 & 0 & 0 & 0 & 0 & 0 \\ 0 & 0 & 1 & 0 & 0 & 0 & 0 & 0 & 0 & 0 & 0 & -\frac{9}{1055} \\ 0 & 0 & 0 & 1 & 0 & 0 & 0 & 0 & 0 & 0 & 0 & \frac{71}{3165} \\ 0 & 0 & 0 & 0 & 0 & 0 & 1 & 0 & 0 & 0 & 0 & \frac{633}{3165} \\ 0 & 0 & 0 & 0 & 0 & 0 & 0 & 1 & 0 & 0 & 0 & -\frac{73}{3165} \\ 0 & 0 & 0 & 0 & 0 & 0 & 0 & 0 & 1 & 0 & 0 & \frac{52}{3165} \\ 0 & 0 & 0 & 0 & 0 & 0 & 0 & 0 & 0 & 1 & 0 & \frac{3185}{132} \\ 0 & 0 & 0 & 0 & 0 & 0 & 0 & 0 & 0 & 0 & 1 & \frac{3165}{378} \\ 0 & 0 & 0 & 0 & 0 & 0 & 0 & 0 & 0 & 0 & 1 & -\frac{3165}{3165} \end{pmatrix}$$

Luego, si $g_{10,8} = 3165$, $g_{10,7} = 578$ then $g_{10,5} = -136$, $g_{10,4} = -52$, $g_{10,3} = 73$, $g_{10,1} = -5$ todas las condicines de adyacencia y ortogonalidad se satisfacen. También $k_{10,4} = -71$, $k_{10,3} = 27$, $k_{10,2} = 0$, and $k_{10,1} = 46$. Entonces ,

$$\vec{v}_{10} = 46\vec{e}_1 + 27\vec{e}_3 - 71\vec{e}_4.$$

Luego, $\langle \vec{v}_{10}, \vec{v}_1 \rangle = -25$, $\langle \vec{v}_{10}, \vec{v}_2 \rangle = 0$, $\langle \vec{v}_{10}, \vec{v}_3 \rangle = 73$, $\langle \vec{v}_{10}, \vec{v}_4 \rangle = -52$, $\langle \vec{v}_{10}, \vec{v}_5 \rangle = -207$, $\langle \vec{v}_{10}, \vec{v}_6 \rangle = 0$, $\langle \vec{v}_{10}, \vec{v}_7 \rangle = 578$, $\langle \vec{v}_{10}, \vec{v}_8 \rangle = 3165$, $\langle \vec{v}_{10}, \vec{v}_9 \rangle = 0$.

■ **Vértice $v_{11} = (3, 3)$.**

Sea $\vec{v}_{11} = k_{11,1}\vec{e}_1 + k_{11,2}\vec{e}_2 + k_{11,3}\vec{e}_3 + k_{11,4}\vec{e}_4 + k_{11,5}\vec{e}_5$.

El vértice v_{11} es adyacente con $v_1, v_2, v_4, v_5, v_6, v_8$ y v_9 en $\overline{K_3 \square P_4}$ pero no es adyacente con v_3, v_7 y v_{10} . De aqui se obtienen las ecuaciones : $k_{11,1} + k_{11,4} - g_{11,1} = 0$, $k_{11,2} - g_{11,2} = 0$, $k_{11,1} + k_{11,3} = 0$, $k_{11,1} + k_{11,2} - k_{11,3} + k_{11,4} - g_{11,4} = 0$, $-2k_{11,1} + 2k_{11,2} + k_{11,3} + 2k_{11,4} - g_{11,5} = 0$, $5k_{11,1} + 2k_{11,3} + 4k_{11,4} - g_{11,6} = 0$, $8k_{11,1} + 4k_{11,2} - 8k_{11,3} - 6k_{11,4} = 0$, $13k_{11,1} + 56k_{11,2} + 53k_{11,3} - 16k_{11,4} - g_{11,8} = 0$, $60k_{11,1} + 250k_{11,2} - 260k_{11,3} - 60k_{11,4} - g_{11,9} = 0$, y $46k_{11,1} + 27k_{11,3} - 71k_{11,4} = 0$. La matriz del sistema es:

$$\begin{pmatrix} 1 & 0 & 0 & 1 & 0 & -1 & 0 & 0 & 0 & 0 & 0 & 0 & 0 \\ 0 & 1 & 0 & 0 & 0 & 0 & -1 & 0 & 0 & 0 & 0 & 0 & 0 \\ 1 & 0 & 1 & 0 & 0 & 0 & 0 & 0 & 0 & 0 & 0 & 0 & 0 \\ 1 & 1 & -1 & 1 & 0 & 0 & 0 & -1 & 0 & 0 & 0 & 0 & 0 \\ -2 & 2 & 1 & 2 & 0 & 0 & 0 & 0 & -1 & 0 & 0 & 0 & 0 \\ 5 & 0 & 2 & 4 & 0 & 0 & 0 & 0 & 0 & -1 & 0 & 0 & 0 \\ 8 & 4 & -8 & -6 & 0 & 0 & 0 & 0 & 0 & 0 & 0 & 0 & 0 \\ 13 & 56 & 53 & -16 & 0 & 0 & 0 & 0 & 0 & 0 & -1 & 0 & 0 \\ 60 & 250 & -260 & -60 & 0 & 0 & 0 & 0 & 0 & 0 & 0 & -1 & 0 \\ 46 & 0 & 27 & -71 & 0 & 0 & 0 & 0 & 0 & 0 & 0 & 0 & 0 \end{pmatrix} \sim \begin{pmatrix} 1 & 0 & 0 & 0 & 0 & 0 & 0 & 0 & 0 & 0 & 0 & 0 & \frac{71}{42295} \\ 0 & 1 & 0 & 0 & 0 & 0 & 0 & 0 & 0 & 0 & 0 & 0 & -\frac{42295}{511} \\ 0 & 0 & 1 & 0 & 0 & 0 & 0 & 0 & 0 & 0 & 0 & 0 & -\frac{84590}{49} \\ 0 & 0 & 0 & 1 & 0 & 0 & 0 & 0 & 0 & 0 & 0 & 0 & -\frac{42295}{189} \\ 0 & 0 & 0 & 0 & 0 & 0 & 1 & 0 & 0 & 0 & 0 & 0 & \frac{42295}{18} \\ 0 & 0 & 0 & 0 & 0 & 0 & 0 & 1 & 0 & 0 & 0 & 0 & -\frac{84590}{189} \\ 0 & 0 & 0 & 0 & 0 & 0 & 0 & 0 & 1 & 0 & 0 & 0 & -\frac{84590}{686} \\ 0 & 0 & 0 & 0 & 0 & 0 & 0 & 0 & 0 & 1 & 0 & 0 & -\frac{42295}{4289} \\ 0 & 0 & 0 & 0 & 0 & 0 & 0 & 0 & 0 & 0 & 1 & 0 & \frac{42295}{42295} \\ 0 & 0 & 0 & 0 & 0 & 0 & 0 & 0 & 0 & 0 & 0 & 1 & -\frac{17432}{42295} \end{pmatrix}$$

Asi, si $g_{11,9} = 84590$ then $g_{11,8} = 34904$, $g_{11,6}, g_{11,5} = 1372$, $g_{11,4} = 189$, $g_{11,2} = 511$, $g_{11,1} = -180$ a Todas las condiciones de adyacencia y ortogonalidad se satisfacen. También $k_{11,4} = -38$, $k_{11,3} = 142$, $k_{11,2} = 511$, and $k_{11,1} = -142$. Así,

$$\vec{v}_{11} = -142\vec{e}_1 + 511\vec{e}_2 + 142\vec{e}_3 - 38\vec{e}_4.$$

Luego, $\langle \vec{v}_{11}, \vec{v}_1 \rangle = -180$, $\langle \vec{v}_{11}, \vec{v}_2 \rangle = 511$, $\langle \vec{v}_{11}, \vec{v}_3 \rangle = 0$, $\langle \vec{v}_{11}, \vec{v}_4 \rangle = 189$, $\langle \vec{v}_{11}, \vec{v}_5 \rangle = 1372$, $\langle \vec{v}_{11}, \vec{v}_6 \rangle = -578$, $\langle \vec{v}_{11}, \vec{v}_7 \rangle = 0$, $\langle \vec{v}_{11}, \vec{v}_8 \rangle = 34904$, $\langle \vec{v}_{11}, \vec{v}_9 \rangle = 84590$, $\langle \vec{v}_{11}, \vec{v}_{10} \rangle = 0$.

■ **Vértice $v_{12} = (3, 4)$.**

Sea $\vec{v}_{12} = k_{12,1}\vec{e}_1 + k_{12,2}\vec{e}_2 + k_{12,3}\vec{e}_3 + k_{12,4}\vec{e}_4 + k_{12,5}\vec{e}_5$.

El vértice v_{12} es adyacente con $v_1, v_2, v_3, v_5, v_6, v_7, v_9$, y v_{10} en $\overline{K_3 \square P_4}$ pero no es adyacente con v_4, v_8 and v_{11} .

de estas condiciones se obtienen las ecuaciones $k_{12,1} + k_{12,4} - g_{12,1} = 0$, $k_{12,2} - g_{12,2} = 0$, $k_{12,1} + k_{12,3} - g_{12,3} = 0$, $k_{12,1} + k_{12,2} - k_{12,3} + k_{12,4} = 0$, $-2k_{12,1} + 2k_{12,2} + k_{12,3} + 2k_{12,4} - g_{12,5} = 0$, $5k_{12,1} + 2k_{12,3} + 4k_{12,4} - g_{12,6} = 0$, $8k_{12,1} + 4k_{12,2} - 8k_{12,3} - 6k_{12,4} - g_{12,7} = 0$, $13k_{12,1} + 56k_{12,2} + 53k_{12,3} - 16k_{11,4} = 0$, $60k_{12,1} + 250k_{12,2} - 260k_{11,3} - 60k_{12,4} - g_{12,9} = 0$, $46k_{12,1} + 27k_{12,3} - 71k_{12,4} - g_{12,10} = 0$, and $-142k_{12,1} + 511k_{12,2} + 142k_{12,3} - 38k_{12,4} = 0$. La matriz del sistema es:

$$\left(\begin{array}{cccccccccccc} 1 & 0 & 0 & 1 & 0 & -1 & 0 & 0 & 0 & 0 & 0 & 0 & 0 \\ 0 & 1 & 0 & 0 & 0 & 0 & -1 & 0 & 0 & 0 & 0 & 0 & 0 \\ 1 & 0 & 1 & 0 & 0 & 0 & 0 & -1 & 0 & 0 & 0 & 0 & 0 \\ 1 & 1 & -1 & 1 & 0 & 0 & 0 & 0 & 0 & 0 & 0 & 0 & 0 \\ -2 & 2 & 1 & 2 & 0 & 0 & 0 & 0 & -1 & 0 & 0 & 0 & 0 \\ 5 & 0 & 2 & 4 & 0 & 0 & 0 & 0 & 0 & -1 & 0 & 0 & 0 \\ 8 & 4 & -8 & -6 & 0 & 0 & 0 & 0 & 0 & 0 & -1 & 0 & 0 \\ 13 & 56 & 53 & -16 & 0 & 0 & 0 & 0 & 0 & 0 & 0 & 0 & 0 \\ 60 & 250 & -260 & -60 & 0 & 0 & 0 & 0 & 0 & 0 & 0 & -1 & 0 \\ 46 & 0 & 27 & -71 & 0 & 0 & 0 & 0 & 0 & 0 & 0 & 0 & -1 \\ -142 & 511 & 142 & -38 & 0 & 0 & 0 & 0 & 0 & 0 & 0 & 0 & 0 \end{array} \right) \sim$$

$$\left(\begin{array}{cccccccccccc} 1 & 0 & 0 & 0 & 0 & 0 & 0 & 0 & 0 & 0 & 0 & -\frac{45}{2288} & -\frac{10589}{2288} \\ 0 & 1 & 0 & 0 & 0 & 0 & 0 & 0 & 0 & 0 & 0 & -\frac{1005955}{7803} & -\frac{1005955}{7803} \\ 0 & 0 & 1 & 0 & 0 & 0 & 0 & 0 & 0 & 0 & 0 & \frac{1005955}{14366} & \frac{1005955}{14366} \\ 0 & 0 & 0 & 1 & 0 & 0 & 0 & 0 & 0 & 0 & 0 & \frac{1005955}{10091} & \frac{1005955}{10091} \\ 0 & 0 & 0 & 0 & 0 & 1 & 0 & 0 & 0 & 0 & 0 & \frac{1005955}{3528} & \frac{1005955}{3528} \\ 0 & 0 & 0 & 0 & 0 & 0 & 1 & 0 & 0 & 0 & 0 & -\frac{1005955}{40509} & -\frac{1005955}{40509} \\ 0 & 0 & 0 & 0 & 0 & 0 & 0 & 1 & 0 & 0 & 0 & \frac{1005955}{191972} & \frac{1005955}{191972} \\ 0 & 0 & 0 & 0 & 0 & 0 & 0 & 0 & 1 & 0 & 0 & \frac{1005955}{201191} & \frac{1005955}{201191} \\ 0 & 0 & 0 & 0 & 0 & 0 & 0 & 0 & 0 & 1 & 0 & -\frac{191972}{1005955} & -\frac{191972}{1005955} \\ 0 & 0 & 0 & 0 & 0 & 0 & 0 & 0 & 0 & 0 & 1 & -\frac{743848}{201191} & -\frac{743848}{201191} \end{array} \right)$$

Asi, si $g_{12,10} = 1005955$ then $g_{12,9} = 3719240$, $g_{12,7} = 191972$, $g_{12,6} = -51695$, $g_{12,5} = -40509$, $g_{12,3} = -3528$, $g_{12,2} = 2288$, $g_{12,1} = -10091$ se satisfacen todas las condiciones de adyacencia y ortogonalidad. También $k_{12,4} = -14366$, $k_{12,3} = -7803$, $k_{12,2} = 2288$, y $k_{12,1} = 4275$. En consecuencia,

$$\vec{v}_{12} = 4275 \vec{e}_1 + 2288 \vec{e}_2 - 7803 \vec{e}_3 - 14366 \vec{e}_4.$$

Luego, $\langle \vec{v}_{12}, \vec{v}_1 \rangle = -10091$, $\langle \vec{v}_{12}, \vec{v}_2 \rangle = 2288$, $\langle \vec{v}_{12}, \vec{v}_3 \rangle = -3528$, $\langle \vec{v}_{12}, \vec{v}_4 \rangle = -40509$, $\langle \vec{v}_{12}, \vec{v}_5 \rangle = -40509$, $\langle \vec{v}_{12}, \vec{v}_6 \rangle = -51695$, $\langle \vec{v}_{12}, \vec{v}_7 \rangle = 191972$, $\langle \vec{v}_{12}, \vec{v}_8 \rangle = 0$, $\langle \vec{v}_{12}, \vec{v}_9 \rangle = 3719240$, $\langle \vec{v}_{12}, \vec{v}_{10} \rangle = 1005955$, $\langle \vec{v}_{12}, \vec{v}_{11} \rangle = 0$

La Matriz de Gram $[G]_{i,j} = [\langle v_i, v_j \rangle] = 0$ para la representación $\langle \vec{v}_1, \dots, \vec{v}_{12}$ es:

$$\left(\begin{array}{cccccccccccc} 2 & 0 & 1 & 2 & 0 & 9 & 2 & -3 & 0 & -25 & -180 & -10091 \\ 0 & 1 & 0 & 1 & 2 & 0 & 4 & 56 & 250 & 0 & 511 & 2288 \\ 1 & 0 & 2 & 0 & -1 & 7 & 0 & 66 & -200 & 73 & 0 & -3528 \\ 2 & 1 & 0 & 4 & 1 & 7 & 14 & 0 & 510 & -52 & 189 & 0 \\ 0 & 2 & -1 & 1 & 13 & 0 & -28 & 107 & 0 & -207 & 1372 & -40509 \\ 9 & 0 & 7 & 7 & 0 & 45 & 0 & 107 & -460 & 0 & -578 & -51695 \\ 2 & 4 & 0 & 14 & -28 & 0 & 180 & 0 & 3920 & 578 & 0 & 191972 \\ -3 & 56 & 66 & 0 & 107 & 107 & 0 & 6370 & 1960 & 3165 & 34904 & 0 \\ 0 & 250 & -200 & 510 & 0 & -460 & 3920 & 1960 & 137300 & 0 & 84590 & 3719240 \\ -25 & 0 & 73 & -52 & -207 & 0 & 578 & 3165 & 0 & 7886 & 0 & 1005955 \\ -180 & 511 & 0 & 189 & 1372 & -578 & 0 & 34904 & 84590 & 0 & 302893 & 0 \\ -10091 & 2288 & -3528 & 0 & -40509 & -51695 & 191972 & 0 & 3719240 & 1005955 & 0 & 290779334 \end{array} \right)$$

Calculando los valores propios de esta matriz usando MATHEMATICA 7.0 con una aproximacion a 5 decimales se obtienen los valores $2,9083 \times 10^8$, $3,3586 \times 10^5$, $64461.$, $3167,1$ y 0 lo que indica son nonegativos y por lo tanto el cálculo anterior corresponde a una representación ortogonal de vectores linealmente independientes del grafo $K_3 \square P_4$ y ademas la matriz es semidefinida positiva.

En resumen una representación ortogonal de $\overline{K_3 \square P_4}$ de vectores linealmente independientes es :

- $\vec{v}_1 = \vec{e}_1 + \vec{e}_4,$
- $\vec{v}_2 = \vec{e}_2,$
- $\vec{v}_3 = \vec{e}_1 + \vec{e}_3,$
- $\vec{v}_4 := \vec{e}_1 + \vec{e}_2 - \vec{e}_3 + \vec{e}_4,$
- $\vec{v}_5 := -2\vec{e}_1 + 2\vec{e}_2 + \vec{e}_3 + 2\vec{e}_4,$
- $\vec{v}_6 := 5\vec{e}_1 + 2\vec{e}_3 + 4\vec{e}_4,$
- $\vec{v}_7 := 8\vec{e}_1 + 4\vec{e}_2 + -8\vec{e}_3 - 6\vec{e}_4,$
- $\vec{v}_8 := 13\vec{e}_1 + 56\vec{e}_2 + 53\vec{e}_3 - 16\vec{e}_4,$
- $\vec{v}_9 := 60\vec{e}_1 + 250\vec{e}_2 - 260\vec{e}_3 - 60\vec{e}_4,$
- $\vec{v}_{10} := 46\vec{e}_1 + 27\vec{e}_3 - 71\vec{e}_4,$
- $\vec{v}_{11} := -142\vec{e}_1 + 511\vec{e}_2 + 142\vec{e}_3 - 38\vec{e}_4,$
- $\vec{v}_{12} := 4275\vec{e}_1 + 2288\vec{e}_2 - 7803\vec{e}_3 - 14366\vec{e}_4.$

6. Observaciones

El lector notará que en todas las matrices usamos -1 en las entradas de las variables $g_{m,j}, m = 3, \dots, 12$ para obtener los valores directamente. En la demostración del teorema 1 en [15] se usan variables $(-g_{m,j}), m = 3, \dots, 12$ para una mejor presentación del argumento. No obstante el cálculo aquí hecho es equivalente.

Además note que en todas las matrices las entradas de la quinta columna correspondiente a las coordenadas de \vec{e}_5 are all zero. esto significa que en realidad no necesitamos calcular la representación ortogonal en \mathbb{R}^5 sino que basta calcularla en \mathbb{R}^4 . Sin embargo, no se puede establecer a priori si la quinta dimension sería necesaria y por lo tanto es necesario calcular vectores en \mathbb{R}^5

Esta técnica aquí mostrada se puede aplicar a cualquier grafo simple conexo con lo cual se tiene una herramienta para calcular una cota superior del rango mínimo semidefinido de estos grafos y posiblemente se podría determinar si la conjetura delta se satisface para un grafo simple conexo particular es válida.

7. Conclusión

La técnica de encrustamientos circulares para la representación de grafos simples y conexos es una técnica que se puede aplicar a cualquier grafo simple conexo. Es particularmente útil para calcular las representaciones ortogonales de grafos simples conexos que a su vez es esencial en el estudio de problemas abiertos en análisis matricial como la conjetura delta y la conjetura del grafo complementario. Por la forma en que se simplifica la observación de un grafo simple conexo y sus relaciones de simetría encontradas una vez que se ha aplicado la técnica de encrustamiento se tiene una herramienta muy util para el estudio de los grafos simples conexos.

8. Agradecimientos

Deseo agradecer a mi director de tesis doctoral Dr. Sivaram Narayan por sus consejos y sugerencias durante la investigación doctoral sobre δ -grafos por la cual fue posible la escritura de este artículo. También quiero agradecer a la Universidad de Costa Rica y particularmente al Centro de Investigaciones Matemáticas y Metamatemáticas (CIMM) por el soporte económico para la investigación. Finalmente deseo agradecer al departamento de matemática de Central Michigan University por el soporte económico otorgado durante mi formación doctoral.

Referencias

- [1] AIM Minimum Rank-Special Graphs Work Group (Francesco Barioli, Wayne Barrett, Steven Butler, Sebastian M. Cioaba, Shaun M. Fallat, Chris Godsil, Willem Haemers, Leslie Hogben, Rana Mikkelsen, Sivaram Narayan, Olga Pryporova, Irene Sciriha, Dragan Stevanovic, Hein Van Der Holst, Kevin Van Der Meulen, and Amy Wangsness), *Zero Forcing Sets and the Minimum Rank of Graphs*, Linear Algebra and its Applications, 428 (2008) 1628-1648.
- [2] Francesco Barioli, Wayne Barrett, Shaun M. Fallat, H. Tracy Hall, Leslie Hogben, and Hein van der Holst, *On the Graph Complement Conjecture for Minimum Rank*, Linear Algebra and its Applications, in press, doi:10.1016/j.laa.2010.12.024.
- [3] Francesco Barioli, Wayne Barrett, Shaun M. Fallat, H. Tracy Hall, Leslie Hogben, Bryan Shader, P. van den Driessche, and Hein van der Holst, *Zero Forcing Parameters and Minimum Rank Problems*, Linear Algebra and its Applications, 433 (2010) 401-411.
- [4] Francesco Barioli, Shaun M. Fallat, Lon H. Mitchell, and Sivaram Narayan, *Minimum Semidefinite Rank of Outerplanar Graphs and the Tree Cover Number*, Electronic Journal of Linear Algebra, 22 (2011) 10-21.
- [5] Wayne Barrett, Hein Van Der Holst, and Raphael Loewy, *Graphs Whose Minimal Rank is Two*, Electronic Journal of Linear Algebra, 11 (2004) 258-280.
- [6] Jonathan Beagley, Sivaram Narayan, Eileen Radzwion, Sara Rimer, Rachel Tomasino, Jennifer Wolfe, and Andrew Zimmer, *On the Minimum Semidefinite Rank of a Graph Using Vertex Sums, Graphs with $\text{msr}(G) = |G| - 2$, and the msrs of Certain Graphs Classes*, in NSF-REU Report from Central Michigan University (Summer 2007).
- [7] Avi Berman, Shmuel Friedland, Leslie Hogben, Uriel G. Rothblum, and Bryan Shader, *An Upper Bound for the Minimum Rank of a Graph*, Linear Algebra and its Applications, 429 (2008) 1629-1638.
- [8] Béla Bollobás. *Modern Graph Theory*, Springer. Memphis, TN, 1998.
- [9] John Adrian Bondy, Uppaluri Siva Ramachandra Murty, *Graph Theory*, Springer. San Francisco, CA, 2008.

- [10] Matthew Booth, Philip Hackney, Benjamin Harris, Charles Johnson, Margaret Lay, Terry Lenker, Lon H. Mitchell, Sivaram K. Narayan, Amanda Pascoe, and Brian D. Sutton, *On the Minimum Semidefinite Rank of a Simple Graph*, Linear and Multilinear Algebra, 59 (2011) 483-506.
- [11] Matthew Booth, Philip Hackney, Benjamin Harris, Charles R. Johnson, Margaret Lay, Lon H. Mitchell, Sivaram K. Narayan, Amanda Pascoe, Kelly Steinmetz, Brian D. Sutton, and Wendy Wang, *On the Minimum Rank Among Positive Semidefinite Matrices with a Given Graph*, SIAM Journal on Matrix Analysis and Applications, 30 (2008) 731-740.
- [12] Andreas Brandstdt, Van Bang Le, Jeremy Spinrad, *Graph Classes: A Survey*, SIAM Monographs on Discrete Mathematics and Applications, ISBN 0-89871-432-X.(1999) p 169.
- [13] Richard Brualdi, Leslie Hogben, Bryan Shader, *AIM Workshop Spectra of Families of Matrices described by Graphs, Digraphs, and Sign Patterns Final Report: Mathematical Results (Revised*)* Available at <http://www.aimath.org/pastworkshop/matrixspectrumrep.pdf>, (2007).
- [14] Gary Chartrand, Linda Lesniak, and Ping Zhang. *Graphs & Digraphs*, Taylor & Francis Group. Boca Raton, FL, 2011.
- [15] Pedro, Diaz. *On the delta Conjecture and the Graph Complement Conjecture for Minimum Semidefinite rank of a Graph*, Ph.D Dissertation, Central Michigan University, July (2014).
- [16] Jason Ekstrand, Craig Erickson, H. Tracy Hall, Diana Hay, Leslie Hogben, Ryan Johnson, Nicole Kingsley, Steven Osborne, Travis Peters, Jolie Roat, Arianne Ross, Darren D. Row, Nathan Warnberg, and Michael Young, *Positive Semidefinite Zero Forcing*, Linear Algebra and its Applications, 439 (2013) 1862-1874.
- [17] Shaun M. Fallat, Leslie Hogben, *The Minimum Rank of Symmetric Matrices Described by a Graph: A Survey*, Linear Algebra and its Applications, 426 (2007) 558-582.
- [18] Philip Hackney, Benjamin Harris, Margaret Lay, Lon H. Mitchell, Sivaram K. Narayan, and Amanda Pascoe, *Linearly Independent Vertices and Minimum Semidefinite Rank*, Linear Algebra and its Applications, 431 (2009) 1105-1115.
- [19] Hein van der Holst, *Graphs whose Positive Semidefinite Matrices have Nullity at Most Two*, Linear Algebra and its Applications, 375 (2003) 1-11.
- [20] Roger Horn, Charles Johnson, *Matrix Analysis*, Cambridge University Press, 1985.
- [21] Leslie Hogben, *Minimum Rank Problems*, Linear Algebra and its Applications, 432 (2009) 1961-1974.
- [22] Leslie Hogben, *Orthogonal Representations, Minimum Rank, and Graph Complements*, Linear Algebra and its Applications, 428 (2008) 2560-2568.

- [23] Yunjiang Jiang, Lon H. Mitchell, and Sivaram K. Narayan, *Unitary Matrix Digraphs and Minimum Semidefinite Rank*, Linear Algebra and its Applications, 428 (2008) 1685-1695.
- [24] Lon Mitchell, *On the Graph Complement Conjecture for Minimum Semidefinite Rank*, Linear Algebra and its Applications (2011), in press, doi:10.1016/j.laa.2011.03.011.
- [25] Lon Mitchell, Sivaram K. Narayan, and Andrew M. Zimmer, *Lower Bounds in Minimum Rank Problems*, Linear Algebra and its Applications, 432 (2010) 430-440.
- [26] Sivaram K. Narayan, Yousra Sharawi, *Bounds on Minimum Semidefinite Rank of Graphs*, Linear and Multilinear Algebra (2014). Retrieved from <http://dx.doi.org/10.1080/03081087.2014.898763> on June 13, 2014.
- [27] Peter Nylén, *Minimum-Rank Matrices with Prescribed Graph*, Linear Algebra and its Applications, 248 (1996) 303-316.
- [28] Travis Peters, *Positive Semidefinite Maximum Nullity and Zero Forcing Number*, Electronic Journal of Linear Algebra, 23 (2012) 828-829.
- [29] Ronald Read, Robin Wilson. *An Atlas of Graphs*, Oxford University Press., 1998, 125-305.
- [30] Yousra Sharawi, *Minimum Semidefinite Rank of a Graph*. Ph.D. Dissertation. Central Michigan University, December (2011).
- [31] Douglas B. West, *Introduction to Graph Theory*, Prentice Hall Inc., 1996.